

دراسة أثر الإضافة التبددية في الكمون الضوئي للمنظومة $(P+^{96}Rh)$ باستخدام طريقة VMA

د.مفيد دياب

أ.د.أنيس بلال

ملك العلي

الملخص :

تم في هذا البحث دراسة تحليلية عددية لتبعثر البروتونات بوساطة نظير الروديوم-96 (^{96}Rh) في مجال الطاقات المنخفضة والمتوسطة باستخدام النموذج الضوئي التبددي وذلك بطريقة التقرير التغایری للعزوم (VMA) التي تتطرق من العلاقة التبددية للكمون الضوئي بجزئيه (ال حقيقي و التخيلي)، تم إجراء تحليل للبيانات المتعلقة بالتفاعل باستخدام برنامجين (Genoa-SPI) و (VMA-SPI) لإجراء الحسابات ($P+^{96}Rh$) باستخدام اللازمة .

وتم الحصول على البارامترات المثالية للكمون الضوئي التبددي للتفاعل ($P+^{96}Rh$) واستنتاج العلاقة الشاملة للكمونات ضمن مجال واسع من الطاقة .

بعدئذ قمنا بإيجاد القيم العددية لمقاطع التفاعل الكلية ($\sigma_{tot}(E)$) في المجال الطيفي المنخفض والمتوسط وتم إيجاد المقاطع التفاضلية ($\sigma(\theta)$) من أجل مجال واسع من الزوايا وذلك عند قيمة طافية محددة ، وتبين من خلال الإضافة التبددية في الكمون الضوئي ومقارنتها مع مثيلاتها المرجعية (التجريبية) (التصنيفات الوسيطية الشاملة للكمونات) تقاربها بشكل جيد مع وجود مقدار الخطأ المركب صغير جداً بمقدار (0.01) وهو أقل بكثير من قيمة الخطأ المركب فيما لم يتمأخذ بعين الاعتبار الإضافة التبددية .

أيضاً تم تحديد التكاملات الحجمية بالنسبة للجزء الحقيقي و التخيلي وكموناتها لمنظومة ($P+^{96}Rh$) و أظهرت توافقاً جيداً مع مثيلاتها التجريبية .

تم تحديد أنصاف الأقطار للمنظومة (P+⁹⁶Rh) في المجال الطاقي المنخفض و المتوسط وأظهرت الحسابات بمقاربها مع الدراسة المرجعية الدقة العالية بتحديد البارامترات الهندسة للكمون الضوئي و للطريقة التبددية.

الكلمات المفتاحية:

العلاقة التبددية ، طريقة (VMA) ، المقطع الكلي للتفاعل ، الكمون الضوئي

Studing the effect of dispersion addition in the Optical potential for the (P+⁹⁶Rh) system using (VMA) method

Abstract:

In this research, a numerical analytical study was conducted of the scattering of protons by the isotope rhodium-96 (⁹⁶Rh) in the field of low and medium energies using the dissipative optical model using the variational approximation of moments (VMA) method, which is based on the dissipative relationship of the photocattern with its two parts (real and imaginary) An analysis of the data related to the reaction (P+⁹⁶Rh) was carried out using two programs (SPI-Genoa) and (VMA-SPI) to perform the necessary calculations.

The ideal parameters for the dissipative light potential of the reaction (P,⁹⁶Rh) were obtained and the comprehensive relationship of the potentials within a wide energy range was deduced.

Then we found the numerical values of the total reaction sections $\sigma_{tot}(E)$ in the low and medium energy range, and the differential sections $\sigma(\theta)$ were found for a wide range of angles at a specific energy value, It was shown through the dissipative addition in the optical potential and comparing it with its reference (experimental) counterparts (the comprehensive intermediate classifications of potentials) that it converges well, with the amount of error committed being very small by (0.01), which is much less than the value of the error committed, while the addition was not taken into account Dissipative .

The volumetric integrals were also determined with respect to the real and imaginary parts and their potentials for the system $(P+^{96}Rh)$ and showed good agreement with their experimental counterparts.

The radii of the $(p+^{96}Rh)$ system in low and medium energy ranges were also determined. The calculations highlighted their convergence with high-precision reference studies, underscoring the accuracy of the geometric parameterization of the optical potential and the effectiveness of the dispersive method.

Keywords: Dispersive relation, VMA method, Total reaction cross section, Optical potential.

مقدمة:

تعتبر الفيزياء النووية فرعاً حيوياً من فروع العلوم الفيزيائية التي ترتكز على دراسة نوى الذرة، وما تحتويه من مكونات أساسية مثل البروتونات والنيترونات، بالإضافة إلى التفاعلات النووية التأثيرات المتبادلة التي تحدث بين هذه الجسيمات. منذ اكتشاف النواة في أوائل القرن العشرين، شهدت الفيزياء النووية تطويراً كبيراً، حيث أسهمت في فهم العديد من الظواهر الطبيعية، بالإضافة إلى تطبيقاتها المتعددة وخاصة في المجال الطبي التصوير الإشعاعي.

وفي الفيزياء النووية تعتبر دراسة التأثير المتبادل بين النيكليونات والنواة من الدراسات المهمة، لما تقدمه من معلومات قيمة ومفيدة عن التفاعلات النووية ولذلك يجب أن نوليهما اهتماماً خاصاً، خاصة بعد ظهور النماذج الحديثة والمتطرفة كالنموذج الضوئي التبددي [1] (DOM) اختصاراً (Dispersiv Optical- Model).

ومن أجل دراسة البنية النووية للذرات ، فقد وضعت العديد من النماذج التي تُوصف النواة الذرية كالنموذج الضوئي الذي يعتبر النواة عبارة عن وسط متصل / مصمت/ يبني

انكساراً وامتصاصاً لأمواج /دي- بروي/ الخاصة بالجسيمات التي تسقط عليها لذلك درست النواة في هذه الحالة دراسة خواص الضوء من الانعكاس والانكسار والامتصاص وهكذا يفترض بناءً على هذا النموذج أن للجسيم الوارد مساراً حراً وسطياً (Mean Free path) معيناً في النواة بمعنى أنه يوجد احتمال معين للامتصاص أثاء عبوره للنواة ويدرس عبور الجسيم للنواة عن طريق ادخال الانكسار المركب وبشكل أدق الكمون المركب الذي يفهم بالتتابع المركب:

$$U = V + iW$$

حيث V : (يمثل الجزء الحقيقي للجهد الذي يصف عملية تبعثر النيكليونات عن النواة).

W : (يمثل الجزء التخييلي للجهد و يصف عملية امتصاص النيكليونات).[2]

في الوقت الحاضر يستخدم النموذج الضوئي والطيفي في دراسة بنية النوى الذرية وفي التفاعلات النووية، وعلى مر السنوات الماضية فقد حقق النموذج الضوئي نجاحاً وخاصة في تقديره لقيم مقاطع التفاعل وتقديمه معطيات عن التبعثر (المرن و اللامرن) ولكن على مر العقود الماضيين كرست دراسات وأبحاث لإعطاء صياغة صحيحة للحقل الوسيطي (الكمون) في المجال الطيفات الموجبة والسلالبة ونتج عن ذلك تحديث وتطوير للنموذج الضوئي إلى نموذج آخر دعي بالنموذج الضوئي التبددي[3-4].

عرفت بـ (VMA) أي التقرير التغایری للعزوم التي تعتبر أن مكوني الكمون الضوئي (ال حقيقي والتخييلي) ذات ارتباط داخلي من خلال العلاقة التبددية (DR) مما يجعل عدد البارامترات الهندسية لا يتجاوز الاثنين والباقي يتم تثبيته بشكل كامل.[5]

طبقت هذه الطريقة بدايةً لدراسة منظومات النوى السحرية ($P + ^{208}Pb$), ($P + ^{40}Ca$) وقد حققت نجاحاً لافتاً ، لذلك طبقت لدراسة النوى غير السحرية التي تمتاز ببنيوكليون ونيوكليونين أعلى من الطبقة السحرية وقد حققت نجاحاً جيداً بتوصيفها لآلية التبعثر المرن وفي مجالات طافية مختلفة ، لذلك قمنا بهذا البحث معتمدين هذه الطريقة لدراسة

التفاعل (P+⁹⁶Rh) وذلك لمعرفة ما هي الخصائص والنتائج التي يمكن التوصل إليها من خلالها.

هدف البحث: معرفة مقدار التحسين في الكمون الضوئي الناجم عن الإضافة التبددية وتأثيره على مقاطع التبعثر (الكلية والتفضالية) للتفاعل (P, ⁹⁶Rh). في إطار النموذج الضوئي التبددي طريقة (VMA)، و وضع قائمة ببيانات الجديدة لمقاطع التفاعل الكلية والتفضالية المبنية على البارامترات الهندسية المستخدمة للكمون الضوئي التبددي.

منهجية ومحفوظ طريقة VMA [5-6-7-8-9-10-11-12-13-14-15-16]

يعطى الكمون الضوئي الذي ينتج عن التأثير المتبادل (نكليون - نواة) بالعلاقة التالية :

$$U(r, E) = V(r, E) + iW(r, E) + V_{LS}(r, E) + V_c(r) \quad (1)$$

حيث أن الحد الأول من العلاقة (1) هو الجزء الحقيقي للكمون الضوئي $V(r, E)$ و يتكون من مجموع مركبتين:

المركبة الأولى : كمون هارتي فوك V_{HF} .

المركبة الثانية : المساهمة التبددية (تتألف من مجموع حدين تبددي سطحي $\Delta V_w(r, E)$ و تبددي حجمي $\Delta V_d(r, E)$).

والحد الثاني هو الجزء التخييلي للكمون الضوئي $W(r, E)$ يتكون من مركبتين (تخيلية سطحية $W_w(r, E)$ و تخيلية حجمية $W_d(r, E)$)

والحد الثالث هو الكمون السبياني المداري $V_{LS}(r, E)$ (ينتج عن التأثير المتبادل بين العزم السبياني والعزم المداري)

والحد الرابع هو الكمون الكولوني (V_c) ويعبر عنه بدلالة نصف القطر المتبادل

$$.R_c = r_c A^{1/3}$$

تبعاً لما سبق تكتب العلاقة بالصيغة التفصيلية الآتية:

$$U = (r, E) = V_{HF}(r, E) + \Delta V_d(r, E) + \Delta V_w(r, E) + i(W_d(r, E) + W_w(r, E)) + V_{LS}(r, E) + V_c(r) \quad (2)$$

يقترح استخدام شكل كمون وودا ساكوسون (Woods-Saxon form) لوصف التابعية

القطристية لكل من الحدود الواردة في العلاقة (2) والذي يعبر عنه بالعلاقة التالية:

$$V(r, E) = V_j(E) \cdot f(r, R_j, a_j) \quad (3)$$

حيث أن :

$$f(r, R_j, a_j) = \frac{1}{1 + e^{\frac{r - R_j}{a_j}}} \quad , \quad R_j = r_j A_j^{1/3}$$

نعتبر قيم الوسطاء الخاصة بالكمون $V_{LS}(r, E)$ و الكمون الكولوني غير تابعة للطاقة لذلك تؤخذ قيمة ثابتة .

$$V_{LS} = 6.8 MeV \quad r_{LS} = 1.2 Fm \quad a_{LS} = 0.6 Fm \quad r_c = 1.22 Fm$$

محتوى طريقة ال **VMA**

الهدف الأساسي تحديد مكونات الحقل النووي الوسطي في العلاقة (1) من أجل التفاعل المدروس كما يلي:

بدايةً نحدد القيمة العددية للمكون التبدي للجهد (السطحى والحجمى) برمجياً من خلال العلاقتين :

$$\Delta V_w(r, E) = \frac{2}{\pi} (E - E_F) \int_{E_F}^{\infty} \frac{W_w(r, E) dE}{(E - E_F)^2 - (E - E_F)} \quad (4)$$

$$\Delta V_d(r, E) = \frac{2}{\pi} (E - E_F) \int_{E_F}^{\infty} \frac{W_d(r, E) dE}{(E - E_F)^2 - (E - E_F)} \quad (5)$$

ثم نحدد الكمون التخيلى الحجمى (W_d) والسطحى (W_w) من خلال العلاقة التبديية للعزوم :

$$[r^2]_w(E) = [r^2]_{w_w}(E) + [r^2]_{w_d}(E) = \frac{4\pi}{A} \int_0^\infty [W_d(r, E) + W_w(r, E)] r^2 dr \quad (6)$$

حيث $[r^2](E)$ يمثل التكامل الحجمي للكمون الضوئي (العزم من المرتبة الثانية) بالنسبة لجزء التخيلي (السطح والحجمي) و يحددان تحليلياً وفق علاقة (براؤن-راو):

$$[r^2]_{wwd}(E) = \beta_2 \left[\frac{(E-E_0)^2}{(E-E_0)^2 + \rho_2} - \frac{(E-E_0)^2}{(E-E_0)^2 + \rho_w} \right] \quad (7)$$

حيث: ρ_w, ρ_2, β_2 تمثل وسطاء براون راو (Brown-Rho) و E_0 طاقة القذيفة ، E_F طاقة سوية فيرمي بوحدة Mev

$$E_F = 3.95 \quad E_0 = 1.97 \quad \text{حيث أن :}$$

وبعد نقوم بحساب عزم هاتري فوك من خلال العلاقة التالية:

$$J_{HF} = \frac{4\pi}{3} \frac{R_{HF}^3}{A} \left[1 + \left(\frac{\pi a_{HF}}{R_{HF}} \right)^2 \right] \cdot U_{HF}(E) = g_{HF} \cdot V_{HF}(E)$$

$$U_{HF}(E) = V_0 - \left(\frac{N-Z}{A} \right) \cdot V_1 = 54,4 - \left(\frac{51-45}{96} \right) \cdot 42,8 = 56.6625$$

$$R_{HF} = r_{HF} A^{1/3} = 5.6594$$

$$V_0 = 54.4 \quad V_1 = \\ 42.8 \quad \text{العمل وفق [17]} \\ a_{HF} = 0.62 \quad r_{HF} = 1.236$$

ونوجد الوسطاء (r_w, r_d, a_w, a_d) نثبتها كقيم وسطية للبارامترات العشوائية للكمون الضوئي العادي بعد الانتهاء من تحديد مكونات العلاقة (2) يصبح الحقل بصيغته النهائية بالشكل:

$$\begin{aligned}
 U(r, E) = & \frac{[r^2]_{HF(E_F)}}{g_{HF}} \exp[\alpha_{HF}(E - E_F)] f(x_{HF}) + \Delta V_w(E) f(x_w) \\
 & + \Delta V_d(E) g(x_d) + i W_w f(x_w) + i W_d g(x_d) \\
 & + V_{ls}(r, E) + V_c(r)
 \end{aligned} \tag{8}$$

وأخيراً وبعد تحديد جميع مكونات الكمون الضوئي وتحديد وسطائه، يتم حل معادلة شرودينغر الموجية المتضمنة لشكل الكمون وهي:

$$\frac{d^2\psi}{dx^2} + \frac{2m}{\left(\frac{h}{2\pi}\right)^2} (E - U) \psi = 0$$

و باستخدام SPI يتم إيجاد مقاطع التفاعل ضمن المجال الطاقي المدروس و مقارنتها مع مثيلاتها التجريبية و مع التمثيلات العالمية و الوسطية [18-19] خطوات العمل:

1- أجريت في البداية تحليلات للبيانات المرجعية المتعلقة بالمنظومة ($P + {}^{96}Rh$) ضمن المجال الطاقي المدروس (الطاقات المنخفضة والمتوسطة)، وتم الحصول على بaramترات أولية للكمون الضوئي و معلومات للعزوم من المرتبة الثانية بالنسبة لجزء الحقيقي و التخيلي (السطحى والحجمى) للكمون.

2- شكلت وخطوة أولية البيانات المتعلقة بالعزوم من المرتبة الثانية (التكاملات الحجمية) بالنسبة لجزء الحقيقي للكمون J_R و التخيلي J_W (الحجمي J_{W_w} والسطحى J_{W_d}) مجموعة تناسبية يمكن البناء عليها و قبلت بيانياً ضمن المجال الطاقي المدروس وبطريقة المحاكاة تم تحديد قيم الوسطاء الهندسية $\beta_2, \rho_2, \rho_w, E_0, E_F$ و قيمها تساوي :

$$E_F = 3.95 MeV \quad E_0 = 1.97 MeV$$

$$\beta_2 = 94 \text{ MeV Fm}^3 \quad \rho_2 = 52 \text{ MeV} \quad \rho_w = 3 \text{ MeV}$$

باستخدام العلاقات:

$$J_W(E) = \beta_2 \frac{(E - E_0)^2}{(E - E_0)^2 + \rho_2^2}$$

$$J_{Ww}(E) = \beta_2 \frac{(E - E_0)^2}{(E - E_0)^2 + \rho_w^2}$$

$$J_{wd}(E) = \beta_2 \left[\frac{(E - E_0)^2}{(E - E_0)^2 + \rho_2^2} - \frac{(E - E_0)^2}{(E - E_0)^2 + \rho_w^2} \right]$$

3- وفقاً لمنهجية طريقة (VMA) ، أخذت قيم البارامترات الهندسية (الأولية) للكمونات الضوئية (الحقيقية والتخيالية (الحجمية والسطحية)) كقيم وسطية منها:

$$\bar{r}_V, \bar{a}_V \quad \bar{r}_w = \bar{r}_d \quad \bar{a}_w = \bar{a}_d$$

أما وسطاء كمون هاتري (r_{HF}, a_{HF}) فتم إيجادها من المرجع [٢] وقيمها

وقيمة عزم هاتري-فوك الموافقة وفق $r_{HF} = 1.263 \text{ Fm}$ و $a_{HF} = 0.62 \text{ Fm}$

العلاقة ($J_{HF}(E_F) = \frac{4\pi}{3} \frac{R_{HF}^3}{A} [1 + \left(\frac{\pi a_{HF}}{R_{HF}}\right)^2] U_{HF}(E_F)$) تساوي :

$$J_{HF}(E_F) = J_{HF} = 501.235 \text{ MeV Fm}^3$$

4- تم ادخال تلك المعلميات:

إلى ملف $\beta_2, \rho_2, \rho_w, E_F, E_0, V_{ls}, r_{ls}, a_{ls}, J_{HF}$ ، $\bar{r}_w = \bar{r}_d; \bar{a}_w = \bar{a}_d$

الدخل في البرنامج (VMA-SPI GENOA) وب مجال طاقي واسع ضمن المدروس

$$\Delta E = 5 \text{ MeV}$$

5- تم ربط البيانات من ملف الخرج (VMA-SPI) مع ملف الدخل (SPI) ليتم تصديرها إلى (SPI) ، والحصول على البيانات المتعلقة بمقاطع التفاعل (الكلية والتفاضلية) والعزوم من المرتبة الثانية بالنسبة لجزأي الكمون (الحقيقي والتخيلي (الحجمي والسطحى) .

النتائج والمناقشة:

استناداً إلى ما تم اجراؤه من الخطوات أعلاه فقد تم التوصل إلى ما يلي :

1 - التعين المثالي للبارامترات الهندسية (وسطاء) للكمون الضوئي التبددي للمنظومة $(\Delta E = 5MeV)$ في المجال الطاقي المختار بخطوة طاقية $(P, {}^{96}Rh)$ وتم ادراجها ضمن الجدول (1):

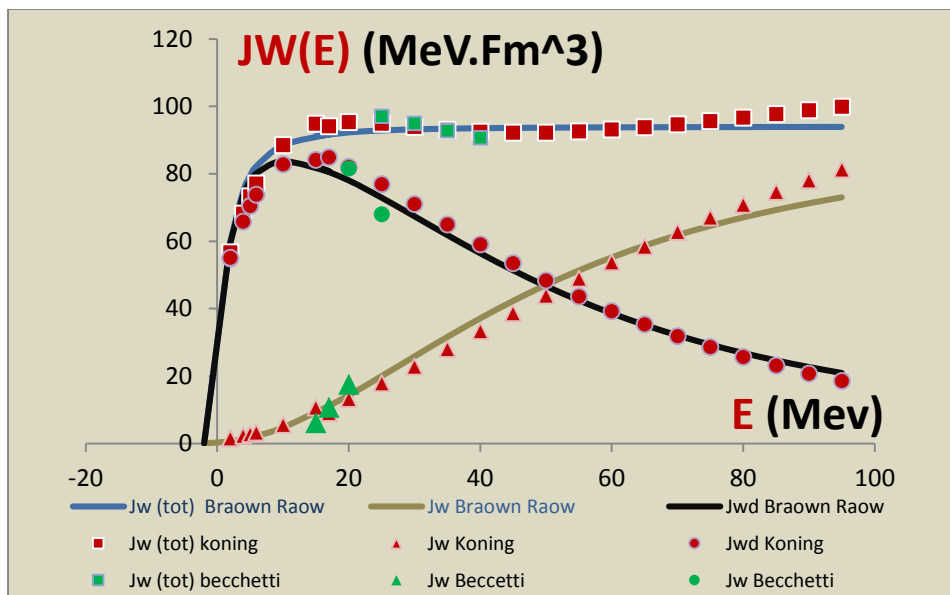
جدول (1): الوسطاء الهندسية للكمون الضوئي التبددي للمنظومة $(P, {}^{96}Rh)$

E (Mev)	V_v (Mev)	r_v (Fm)	a_v (Fm)	W_w (Mev)	r_w (Fm)	a_w (Fm)	W_d (Mev)	r_d (Fm)	a_d (Fm)
1.97	55.111	1.289	0.596	0.056	1.2	0.5	5.458	1.2	0.5
2	55.103	1.289	0.596	0.056	1.2	0.5	5.488	1.2	0.5
3.95	54.617	1.279	0.596	0.125	1.2	0.5	6.812	1.2	0.5
5	54.358	1.273	0.596	0.172	1.2	0.5	7.188	1.2	0.5
5.92	54.132	1.269	0.596	0.219	1.2	0.5	7.406	1.2	0.5
10	53.134	1.254	0.596	0.490	1.2	0.5	7.749	1.2	0.5
15	51.894	1.24	0.596	0.938	1.2	0.5	7.600	1.2	0.5
17	51.387	1.236	0.596	1.144	1.2	0.5	7.467	1.2	0.5
20	50.611	1.23	0.596	1.476	1.2	0.5	7.224	1.2	0.5
25	49.273	1.222	0.596	2.065	1.2	0.5	6.751	1.2	0.5
30	47.884	1.216	0.596	2.672	1.2	0.5	6.239	1.2	0.5
35	46.452	1.211	0.596	3.271	1.2	0.5	5.723	1.2	0.5

40	44.994	1.207	0.596	3.843	1.2	0.5	5.225	1.2	0.5
45	43.523	1.203	0.596	4.377	1.2	0.5	4.756	1.2	0.5
50	42.052	1.20	0.596	4.868	1.2	0.5	4.324	1.2	0.5
55	40.595	1.198	0.596	5.314	1.2	0.5	3.931	1.2	0.5
60	39.16	1.197	0.596	5.717	1.2	0.5	3.575	1.2	0.5
65	37.755	1.195	0.596	6.078	1.2	0.5	3.255	1.2	0.5
70	36.384	1.194	0.596	6.401	1.2	0.5	2.969	1.2	0.5
75	35.052	1.193	0.596	6.689	1.2	0.5	2.714	1.2	0.5
80	33.761	1.192	0.596	6.947	1.2	0.5	2.485	1.2	0.5
85	32.511	1.191	0.589	7.177	1.2	0.5	2.281	1.2	0.5
90	31.305	1.19	0.589	7.382	1.2	0.5	2.099	1.2	0.5
95	30.141	1.189	0.596	7.566	1.2	0.5	1.935	1.2	0.5
$V_{so} = 6.8 \text{ (Mev)}$		$r_{so}=1.2 \text{ (Fm)}$		$a_{so}=0.6 \text{ (Fm)}$		$r_c=0.6 \text{ (Mev)}$			

كما هو ملاحظ من الجدول أعلاه أن مع ازدياد الطاقة فإن الجزء الحقيقي للكمون يتلاقص وأيضاً يتلاقص نصف قطره، يعزى ذلك إلى اقتراب الجسيمات المقدوفة (بروتونات) من الهدف وتبادلها التأثير مع عدد محدود من الجسيمات داخل النواة، وأيضاً نلاحظ من الجدول أعلاه: أن مع ازدياد الطاقة فإن الكمون التخيلي الحجمي ونصف قطره يزداد مع ازدياد الطاقة بينما نجد أن التخيلي السطحي يزداد إلى أن يصل إلى قيمة عظمى ثم ينهاى مع ازدياد الطاقة يعزى ذلك إلى المنافسة بين التأثيرات السطحية والحجمية.

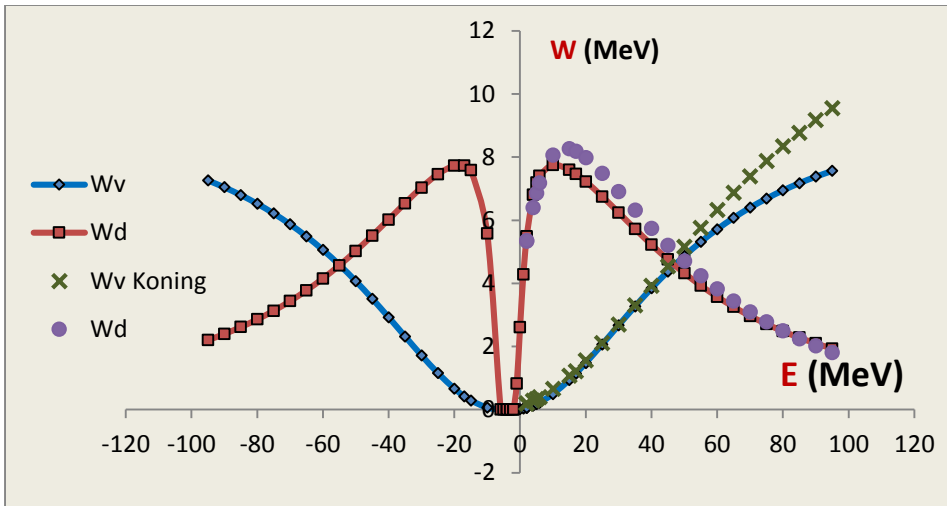
2- تقييم وتعيين العزوم من المرتبة الثانية بالنسبة للجزء التخيلي للكمون J_{w_w} (الحجمي J_w و السطحي J_d) باستخدام علاقة براون - راو (Brown-Row) وتم تمثيلها بيانياً بالشكل (1):



الشكل(1): التابعية الطاقية للتكاملات الكلية التخيلية J_w (الجمية J_w والسطحية J_d) للمنظومة ($P, {}^{96}Rh$) وفي المجال الطaci المدروس و مقارنتها مع مثيلاتها المرجعية [20-21].

كما هو مبين من الشكل (1) التوافق والتطابق الجيد بين التتكاملات الكلية التخيلية (الجمية والسطحية) المحسوبة وفق (SPI) ومثيلاتها المرجعية [20-21].

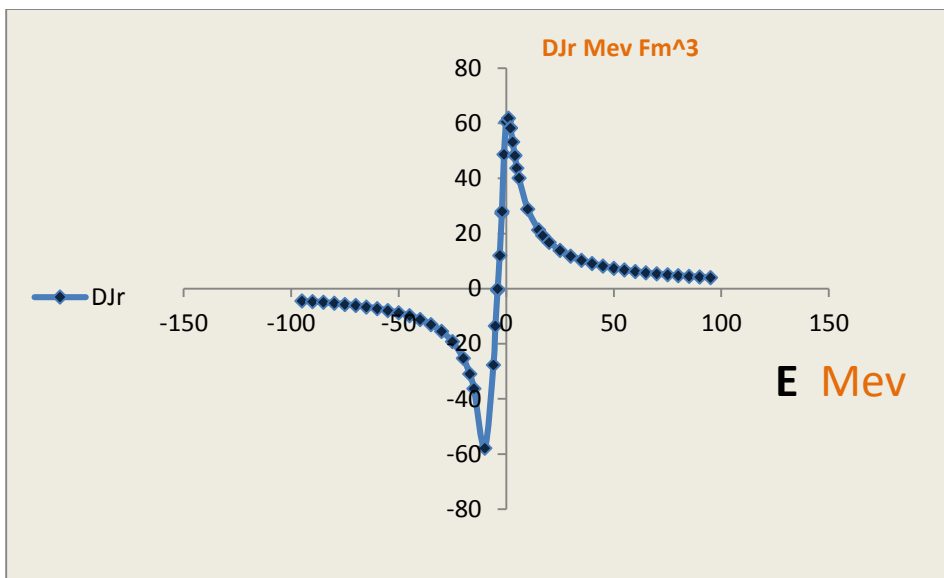
3- باستخدام الوسطاء الهندسية في الجدول (1) ويساعدة البرنامج SPI فقد تم تعين قيم التأثيرات المتبادلة (الكمونات التخيلية (الجمية W_w والسطحية W_d) للمنظومة ($P, {}^{96}Rh$) وفي المجال الطaci المنخفض والمتوسط المدروس وتم تمثيلها بيانيا من الشكل (2) .



الشكل(2): الدالة الطاقية لسلوك الكمونات التخيالية (الحجمية والسطحية) للمنظومة ($P, ^{96}Rh$) ضمن المجال الطaci المدروس ومقارنتها مع المرجعية [20].

نلاحظ من الشكل (2): الانحراف في السلوك للكمونات بتابعيتها للطاقة خاصة بالقرب من عتبة التفاعل في المجال الطaci المنخفض و يعزى ذلك إلى المشاركة الفعالة لجميع قنوات التفاعل (وخاصة الامتصاص) في التفاعل بالقرب من طاقة الحاجز الكولوني [3]

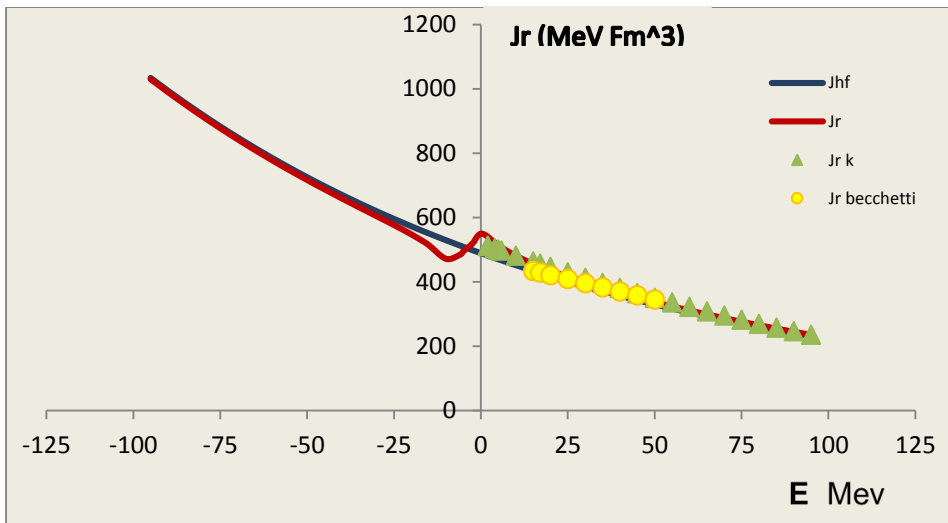
4- تحديد المشاركة التبددية عبر التفاعل الحجمي للكمون التبددي ΔJ_r بمساعدة البرنامج (VMA-SPI) المدمج مع (SPI)، فقد تم تعين (حسابياً) قيم التكاملات الحجمية التبددية للمنظومة ($P, ^{96}Rh$) وضمن المجال الطaci المحدد.



الشكل (3) : الدالة الطاقية لسلوك التكاملات الحجمية للمنظومة ($P, {}^{96}Rh$) وضمن المجال الطaci المدروso.

ويظهر من الشكل (3) سلوكاً متماثلاً في مجال الطاقات الموجبة والسايبة القريب من الحاجز الكولوني للأسباب المذكورة أعلاه.

5- الدالة الطاقية لسلوك التكاملات الحجمية J_r (الحقيقية) وهاتري فوك J_{HF} للمنظومة المدروسة ضمن المجال الطaci المدروso . ثم باستخدام الجدول (1) (الوسطاء الهندسية للكمون الضوئي التبديي) ويساعدة البرنامج (VMA-SPI) تم إيجاد القيم العددية للتكمالات الحجمية للكمون الحقيقي ولهاتري-فوك للمنظومة ($P, {}^{96}Rh$) وفي المجال الطaci المختار وأيضاً في المجال السالب (الحالات المترابطة) وتم تمثيلها بيانيًّا في الشكل (4).



الشكل (4): الدالة الطافية للتكاملات الحجمية بالنسبة للكمون الحقيقي وأيضاً بالنسبة للكمون (هاتري-فوك) للمنظومة المدروسة ($P + {}^{96}Rh$) في المجال الطافي $(-80 \leq E_p \leq +80)$ وتم مقارنتها مع مثيلاتها المرجعية [21-22].

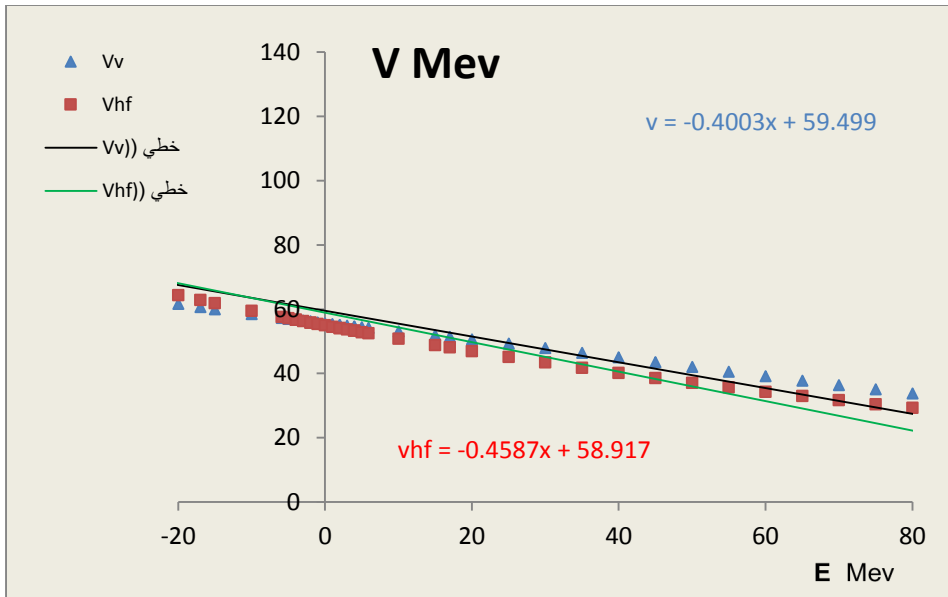
نلاحظ من الشكل التوافق الجيد ل (J_r) المحسوب وفق (VMA) ومع مثيلاتها المرجعية وكما نلاحظ كما هو مبين من الشكل نلاحظ من المنحنى الأول سلوكاً متميزاً بالقرب من الحاجز الكولوني حيث تبدي التابعية (J_r) تغيراً ملحوظاً بسلوكه حيث يأخذ قيمة عظمى بالقرب من طاقة الحاجز الكولوني يدعى هذا التغير بالانحراف العتى (الشذوذ) نتيجة كما ذكرنا لمشاركة عدد كبير من القنوات في التفاعل (التفاعل المرن والتفاعل اللامرن والامتصاص) ، بعدها يتناقص مع ازدياد الطاقة لكونه يقتصر على قناة او قناتين للتفاعل المرن واللامرن .

أما في الطاقة السالبة فتظهر لنا السويات الطافية (سوية فيرمي E_F والسويات الأعلى منها E_F^+ والسويات الأخفض منها E_F^-) وانشغالها بالنويكليونات (البروتونات) ، وهذه السويات حددت بعلاقة رياضية محددة وقيمها وجد بأنها تتوافق مع مثيلاتها المرجعية ، فمن أجل طاقة فيرمي يلاحظ تقاطع وتلاقي (1) مع (2) ويشير بذلك إلى عدم حدوث

أية عملية من عمليات التفاعل ، أما من أجل الطاقة E_0^+ المقابلة للسويات الأعلى من سوية فيرمي الفارغة أو المشغولة جزئياً فيلاحظ بوجود قيم للعزوم ويعزى ذلك لوجود عمليات امتصاص وتفاعلات وأيضاً يحدث من أجل E_0^- (المقابلة للسويات الأحفض من سوية فيرمي (الممئنة) نلاحظ بوجود أيضاً قيم للعزوم ويعزى ذلك لنفس السبب أعلاه (طبعاً هنا تمثل حالة وصفية للنموذج الظبي والمتحيز لكمون حقيقي فقط، وهنا يظهر الدور الذي يلعبه النموذج الضوئي حيث يظهر البيانات الخاصة بالطاقات الموجبة والسلبية ويربط بينها من خلال كمون (الكمون من حدين حقيقي وتخيلي) .

6- الدالة الطاقية لسلوك الكمون الضوئي (ال حقيقي V_7 وهانري-فوك (للمنظومة ضمن المجال المدروس (المخنفض والمتوسط) وخارجها .

بالاستفادة والاستعانة بالجدول (1) وتحديداً قيم للكمونات (ال حقيقي والتخيلي) بدلالة الطاقة الناتجة من ملفي الخرج للكودين (VMA-SPI) و (SPI-Genoa) فقد تم تمثيلها بيانياً كما هو في الكل (6) :



الشكل (6) : الدالة الطاقية للكمون البروتوني الضوئي V_V وهاطري-فوك V_{HF} للمنظومة المدروسة ($P, ^{96}Rh$) وضمن المجال الطaci المدروس

نلاحظ من الشكل لتباعد بين الكمونين ويعود ذلك إلى الإضافة التبددية في الكمون الحقيقي والتقائهما عند طاقة فيرمي والسبب يعود إلى ما تم ذكره أعلاه ويلاحظ أيضاً التوافق الجيد لقيم تلك المنحنيات المحسوبة وفق برنامج (VMA-SPI) مع مثيلاتها المرجعية وانحرافها (ابتعادها) قليلاً في بعض القيم الطاقية ويعود ذلك إلى الطريقة المتبعة في بعض المراجع وحساسية بaramتراتها لذلك .

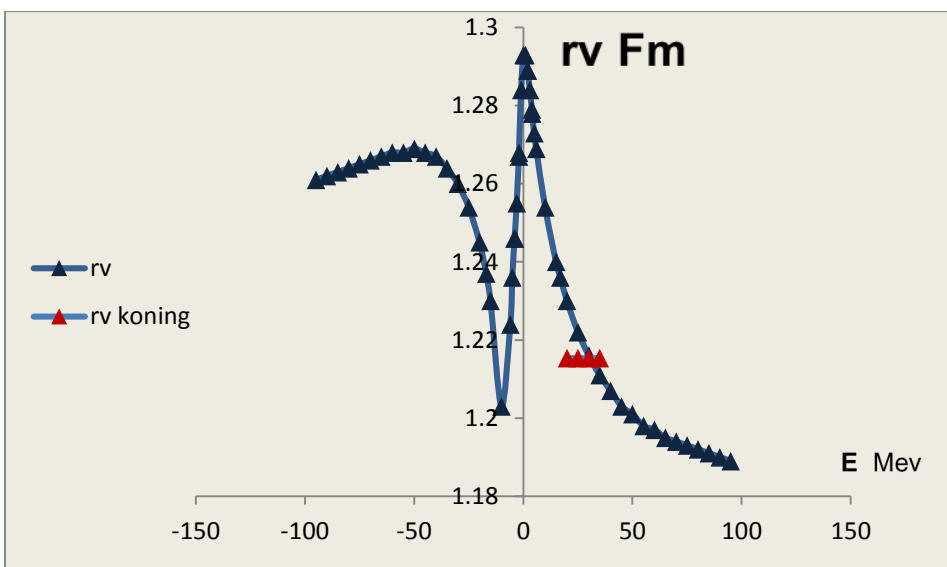
أيضاً يلاحظ من الشكل (6) السلوك الخطى للكمونين – الكمون التبددى الخطى وكمون هاتري-فوك و التعبير عنهم بعلاقتين رياضيتين كما في الصيغة التالية:

$$V_V = -0.4003E + 59.499 \quad (1)$$

$$V_{HF} = -0.4587E + 58.917 \quad (2)$$

يمكن من خلال هاتين العلاقات تحديد وتصنيف شكل الكمونات من أجل كل خطوة طاقية ضمن المجال الطaci المدروس وخارجها.

7- الدالة الطاقية لنصف قطر الكموني البروتوني الضوئي للمنظومة المدروسة ($P, {}^{96}Rh$) وضمن المجال الطاقي المحدد ومثيلاتها المرجعية [20]. تم وبالاعتماد على طريقة (VMA) ومن النتائج الواردة في الجدول (1) تمثيل القيم العددية لأنصاف قطرات الكمون البروتوني الضوئي المحسوبة باستخدام الكودين (VMA-) (SPI ، SPI) للمنظومة المدروسة بيانياً في الشكل (7) المبين :



الشكل (8): الدالة الطاقية لنصف قطر الكمون البروتوني الضوئي للمنظومة المدروسة ($P, {}^{96}Rh$) وضمن المجال الطاقي المدروس وخارجه ومثيلاتها المرجعية [20] ، بالإضافة إلى مثيلاتها من نتائج التحليل المراجع [20].

وكما هو مبين من المنحني البياني السلوك المرافق والمماطل للكمون ، حيث يظهر لدينا في مجال الطاقات المنخفضة تزايداً مع ازدياد الطاقة إلى الوصول قيمة عظمى المقابلة لطاقة الحاجز الكولوني وانخفاضاً بعدها بازدياد الطاقة ، ويعزى ذلك إلى أن بالقرب من الحاجز الكولوني يطرأ تغيراً ملحوظاً بسلوكه مايعرف بظاهرة شذوذ العتبة . كما أشرنا إليه

أعلاه نتيجة المشاركة الفعالة لجميع قنوات التفاعل (التفاعل المرن واللامرن والامتصاص) بعدها تقتصر المشاركة إلى قناة أو قناتين على الأكثر ، وهذا الظهور لظاهرة الشذوذ نتيجة الإضافة التبددية في الكمون الضوئي .

أيضاً من الشكل يلاحظ التوافق الجيد مع بعض قيم المرجع [20] من أجل نفس قيم الطاقة واختلافها عن القيم والسبب لأن المرجع [20] اعتبر أن أنصاف الأقطار غير تابعة للطاقة ، أيضاً يلاحظ التوافق الجيد مع نتائج التي قمنا من تحليل البيانات الخاصة بأنصاف الأقطار المرجع [20].

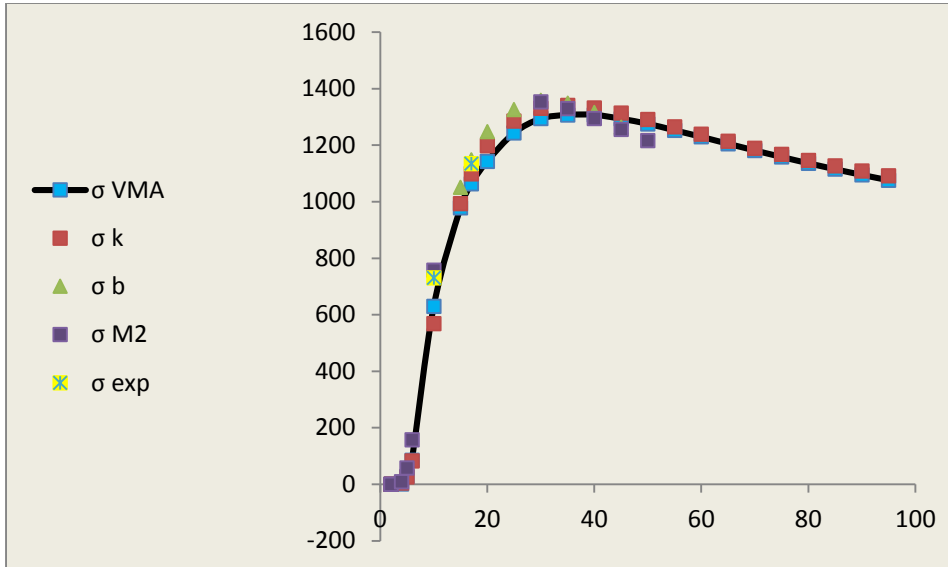
أيضاً يلاحظ السلوك المماثل والمناظر المنحني البياني في مجال الطاقات السالبة ولكن بشكل مقلوب وهو يعكس عمق الحفرة الكمونية في تلك المنطقة حتى يصل إلى أخفض قيمة مقابلة لقيمة طاقة فيرمي و من ثم يزداد بازدياد الطاقة ويعزى إلى الظهور النشط لقنوات الامتصاص في تلك المناطق الطاقية.

8- الدالة الطاقية لسلوك مقاطع التفاعل للمنظومة ($P, ^{96}Rh$) في المجال الطaci المعين وخارجه و مثيلاتها المرجعية [22-21-20] ومن نتائج تحليل مقاطع التفاعل المرجعية والمعالجة بالبرنامج SPI

باستخدام الجدول (1) والمعالجة البرمجية باستخدام الكودين (VMA-SPI) و (SPI) باستخدام الجدول (1) والمعالجة البرمجية باستخدام الكودين (VMA-SPI) و (SPI) عبر ملفاتها الدخل والخرج . فقد تم التوصل إلى القيم العددية لمقاطع التفاعل بعد حل معادلة شرونغر الموجية ضمن الكود SPI وتم وضعها في الجدول (2):

جدول (2) يبين مقارنة بين قيم مقاطع التفاعل ($P + \frac{96}{45}Rh_{51}$)						
E (Me V)	σ Koning (mb)	σ Becchitte (mb)	σ Menet <i>et al</i> (mb)	σ exp (mb)	σ spi (mb)	σ VMA (mb)
1.97	0.001013	-	0.0019638	-	-	0.001263
2	0.001245	-	0.0014787	-	-	0.001548
3.95	4.07021	-	9.24712	-	-	0.64859
5	26.6314	-	57.6771	-	-	28.6992
5.92	83.8478	-	156.851	-	-	84.7009
10	649.068	-	769.083	730	713.603	629.296
15	1008.66	1050.6	1153.11	-	-	978.558
17	1098.59	1147.89	1242.59	1135	1170.67	1063.43
20	1188.81	1247.36	1310.83	-	-	1142.95
25	1281.34	1325.62	1349.13	-	-	1243.05
30	1328.45	1358.94	1352.29	-	1323.44	1293.83
35	1336.02	1348.92	1328.01	-	-	1307.04
40	1329.86	1315.58	1293.22	-	-	1307.26
45	1311.87	1264.18	1254.85	-	-	1293.43
50	1288.2	1198.89	1216.11	-	1284.08	1275.47
55	1263.37	-	1179.17	-	-	1252.66
60	1238.3	-	1145.06	-	1230.46	1229.36
65	1213.39	-	1114.46	-	-	1204.99
70	1189.54	-	1087.08	-	1187.66	1181.28
75	1167.03	-	1064.89	-	-	1158.23
80	1146.01	-	1045.46	-	1148.72	1136.02
85	1126.58	-	1031.78	-	-	1114.85
90	1108.6	-	1021.65	-	-	1094.79
95	1092.01	-	1015.95	-	-	1075.76

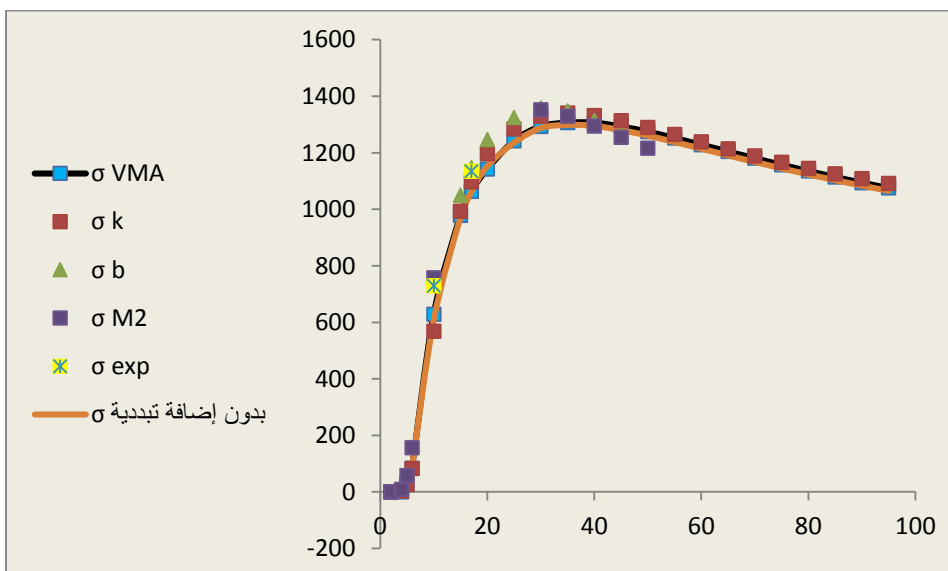
وتمثيلها بيانيًّا في الشكل (8) :



الشكل (8): الدالة الطاقية لمقاطع التفاعل $(P + {}^{96}Rh)$ في المجال الطaci المحدد وخارجه وقيم مثيلاتها المرجعية [20-22] ومن تحليلاتنا يظهر الشكل (8) سلوكاً مميزاً لمقاطع تفاعل البروتونات المقدوفة بطاقة منخفضة ومتوسطة بوساطة نواة الهدف $({}^{96}Rh)$ ، حيث وكما نلاحظ من الشكل أن مع ازدياد الطاقة (طاقة المقدوฟ)، أي مع تسريعه عبر مسرعات خاصة إلى طاقات محددة فإن مقاطع التفاعل ستزداد كما هو واضح إلى الوصول إلى قيمة معينة مقابلة لطاقة محدودة، ثم يحافظ على قيمة ثابتة مع ازدياد الطاقة . ويعزى ذلك للمشاركة الفعالة لمراکز التبعثر التي تعرّض مسار الحزمة المسرعة من البروتونات. فكلما ازدادت طاقة التسريع كلما اقترب أكثر من نواة الهدف وانخفض أيضاً نصف قطر التأثير المتبادل وهذا واضح من الشكل (7).

نلاحظ التوافق الجيد والمثالي مع مثيلاتها المرجعية [20-22] ضمن مجالات طاقية معينة ومع تحليلاتنا المنهجية لقيمها من المراجع [22] ، ويلاحظ ابتعادها عن بعض المراجع والسبب يعود لكون بعض المراجع اعتمدت طريقة مغايرة جداً عن طريق VMA) من حيث إيجادها للبارامترات الهندسية للكمون الضوئي .

إن هذا التوافق الجيد لقيم مقاطع التفاعل بدلالة الطاقة وفق الطريقة المتبعة (VMA) مع البيانات سواء التجريبية أو التمثيلات الوسيطية لبارامترات الكمون الضوئي يعكس بالدرجة الأولى الدقة في تحديد البارامترات الهندسية للكمون الضوئي والذي أدى بدوره إلى خلق كل آخر (استنبط) للكمون منسجم إلى حد كبير جداً مع كينونته لخط الاقتراب الفعلي للبروتونات المقدوفة من نواة الهدف (وهذا كما قلنا سابقاً عائداً إلى أثر الإضافة التبددية المنطوية ضمن جوهر طريقة (VMA) ولدى غيابها (غياب الإضافة التبددية) رأينا ابتعاداً كبيراً عن القيم العددية لمقاطع التفاعل المحسوبة باستخدام (VMA-SPI) و تراجعاً حاداً لسلوكها عن مثيلاتها المرجعية والشكل (9) يبين ذلك والجدول (3) أيضاً يوضح ذلك



الشكل (9) الدالة الطاقية لمقاطع التفاعل (${}^{96}Rh + P$) في مجال الطاقات المنخفضة والمتوسطة مع مثيلاتها المرجعية [20-21-22] وبدون إضافة تبددية

الجدول (3):

جدول (3) يبين مقدار ونسبة تأثير الإضافة التبددية على مقطع العرضي ل $^{45}Rh_{51}$

E (MeV)	المقطع مع إضافة تبددية	المقطع بدون إضافة تبددية	قيمة الإضافة	نسبة الإضافة %
1.97	0.001263	0.003567	-0.0023	-182.463
2	0.001548	0.00167362	-0.00013	-8.08427
3.95	0.64859	5.28691	-4.63832	-715.139
5	28.6992	31.3628	-2.6636	-9.28109
5.92	84.7009	87.1619	-2.461	-2.90552
10	629.296	607.843	21.453	3.409048
15	978.558	969.999	8.559	0.874654
17	1063.43	1060.47	2.96	0.278345
20	1142.95	1151.95	-9	-0.78744
25	1243.05	1235.49	7.56	0.608181
30	1293.83	1287.38	6.45	0.49852
35	1307.04	1298.39	8.65	0.661801
40	1307.26	1294.99	12.27	0.938604
45	1293.43	1279.82	13.61	1.052241
50	1275.47	1260.64	14.83	1.162709
55	1252.66	1237.71	14.95	1.19346
60	1229.36	1214.47	14.89	1.211199
65	1204.99	1190.45	14.54	1.206649
70	1181.28	1167.25	14.03	1.187695
75	1158.23	1144.84	13.39	1.156074
80	1136.02	1123.34	12.68	1.116178
85	1114.85	1102.89	11.96	1.07279
90	1094.79	1083.53	11.26	1.028508
95	1075.76	1065.19	10.57	0.982561

الاستنتاجات والتوصيات:

(1)- من تحليل البيانات المتعلقة بمقاطع التفاعل التجريبية والنظرية للمنظومة ($P + ^{96}Rh$) في المجال الطيفي المدروس باستخدام الكود (SPI)، تم التوصل إلى

مجموعة من البارامترات الهندسية للكمون الضوئي ، الذي تم اعتبارها كتقريب أولي للبارامترات الهندسية التي نسعى لإيجادها.

(2)- وجدنا وفقاً لتقنية طريقة (VMA) النموذج الضوئي التبددي المبنية على العلاقة التبددية وبعد حلها التحليلي والمعدي من خلال علاقة (براون - براو) فقد تم إيجاد الوسطاء الهندسية ل (VMA) وهي :

$$\begin{aligned} \beta_2 &= 94 \text{ MeV } Fm^3 & \rho_2 &= 52 \text{ MeV} & \rho_w &= 3 \text{ MeV} \\ E_F &= 3.95 \text{ MeV} & E_0 &= 1.97 \text{ MeV} & J_{HF} &= 501.235 \text{ MeV } Fm^3 \end{aligned}$$

(3)- تم وباستخدام طريقة (VMA) والبرنامج (SPI-VMA) معالجة البيانات الناتجة والتوصل إلى القيمة العددية للعزوم من المرتبة الثانية (التكاملات الحجمية) بالنسبة للجزء الحقيقي والتخيلي للكمون الضوئي ومنها على سبيل المثال:

$$\begin{aligned} J_r(E_k) &= 337.56 \text{ MeV } Fm^3 \\ J_{w_w} &= 46.973 \text{ MeV } Fm^3 \\ J_{w_d} &= 46.715 \text{ MeV } Fm^3 \end{aligned}$$

حيث أظهرت قيمها العددية توافقاً جيداً مع مثيلاتها المرجعية وسلوكاً مميزاً بالنسبة للطاقة وخاصة في المجال الطيفي المنخفض ، إذ يبدي المنحني الخاص بتناسبية العزوم للطاقة شذوذًا في سلوكه بالقرب من عتبة التفاعل ، نتيجة للمشاركة الفعالة لجميع قنوات التفاعل (مثل التفاعل المرن والتفاعل اللامرن والامتصاص) ، وهذه الظاهرة تعرف بظاهرة شذوذ العتبة ، وهي نتيجة للاضافة التبددية في الكمون الضوئي التبددي.

(4)- تم إيجاد شكل الكمونات المدروسة بالنسبة للجزء التخيلي (الحجمي والسطحى) وال حقيقي للمنظومة المدروسة ($P + {}^{96}Rh$) في المجال الطيفي المدروس وكانت ذات

دقة عالية من التحديد وظهرت تطابق مقاطع التفاعل الحسابية مع مثيلاتها التجريبية وكمون (هاتري-فوك) وتم التوصل إلى العلاقات التاليتين للكمون الحقيقي:

$$V_V = -0.4003E + 59.499 \quad (1)$$

$$V_{HF} = 0.4587E + 58.917 \quad (2)$$

يمكن من خلال هاتين العلاقاتين إيجاد قيمة الكمون وعند كل خطوة طافية أو فاصلة طافية .

(5)- تم أيضاً تحديد القيمة العددية لأنصاف أقطار الكمونات للمنظومة المدروسة ($P, ^{96}Rh$) وضمن المجال الطافي المختار وجدنا أن سلوكها يتباين مع الطاقة ويعزى ذلك إلى الإضافة التبددية التي أظهرت ذلك، بينما نجد أن ذلك غير وارد في التمثيلات الوسيطية الشاملة لبارامترات الكمون الضوئي.

(6)- تم تحديد القيم العددية لمقاطع التفاعل للمنظومة ($P + ^{96}Rh$) وضمن المجال الطافي المدروسة وخارجه ، وتبين توافقها بشكل جيد مع مثيلاتها التجريبية و التمثيلات الوسيطية الشاملة . ويعزى هذا التوافق والتطابق أيضاً إلى الأضافة التبددية في الكمون الضوئي ولدقة عمل البارامترات الهندسية للكمون الضوئي.

(7)- حدنا أبعاد المنطقة الإشعاعية (الوسطاء الهندسية للكمون الضوئي) ، التي تحدث فيها عمليات التأثيرات المتبادلة بين الجسيمات المفتوحة ونواة الهدف من خلال المعالجة لتلك العمليات باستخدام الكودين البرنامجيين (SPI، VMA-SPI).

(8)- حدنا قيمة نسبة المشاركة التبددية الفعالة بدلالة الطاقة ، حيث تبين أن قيمتها تتراوح في المجال الطافي المنخفض (5-10 MeV) وفي المجال الطافي المتوسط (10-80 MeV).

النوصيات:

- (1)- توسيع الدراسة لتشمل مجالات طاقية أعلى و نوى أهداف العناصر المختلفة .
- (2)- أرشفة النتائج التي تم التوصل إليها في قاعدة بيانات تكون مرجعاً للدراسات
البحثية القادمة و المستقبلية.

المراجع:

- [1]- MAHAUX . C, SARTOR . R , 1991, Nucl . Phys .V. 528.P. 253.
- [2]- أنيس بلال - محاضرات الفيزياء النووية 2-السنة الرابعة فيزياء- جامعة البعث، كلية العلوم-قسم الفيزياء (2015-2025).
- [3]-MAHAUX . C, BORTIGNON P.F, 1985 -Dynamics of the shell model. Phys. Rep, V.120 , p.p.1- 274.
- [4] - MAHAUX . C, SARTOR . R ,1989 , Nucl . Phys .V. 503, P.525.
- [5]-Molhum Ussef, & Anis Belal. (2020). Study of the dispersive contribution effect for neutrons scattering with energy($60 \leq E_n \leq 80$)MeV, Nuclear Science, Science PG, Vol.5,Issue Number 4,December 2020.
- [6]- HODGSON . P. E , 1991- The Dispersive Optical Model, OUNP, 91-11, p.p.1- 7.
- [7]- GURBICH . A . F, LIONEV. A , 1983- Analysis Proton Optical - Model potential near the coulomb barrier, bninsk – USSR.
- [8]-استخدام النموذج الضوئي التبددي لدراسة تبعثر البروتونات المقذوفة بطاقة $10 \leq E_p \leq 50 MeV$ على نواة الهدف ⁵⁷Fe . مجلد 40 جامعة البعث.
- [9]- PEREY F.G. code SPI-GENOA (unpublished)1976.
- [10]- Hodgson, P. E. (1990). The unification of the nuclear optical potential, Contemporary Physics, 31: 5, 295-308, DOI: 10.1080/00107519008213780.

[11] KONING. A, HILAIRE. S, GORIELY. S, 2015- TALYS-1.8, A nuclear reaction program, User Manual. First edition. NRG Petten, the Netherlands and CEA 45679599-leCha=el, France, 41-533p.

[12] Koning, A. J., & Delaroche, J. P. (2003). Nucl. Phys. A713, 231.

[13]- معروف، إبراهيم، أنيس بلال،(2023) ، تحديد نسبة المساهمة التبددية في المقاطع العرضية والكمونات النووية للتفاعل $^{112}\text{Cd}(n,n)^{112}\text{Cd}$ بطاقة قذف $4.5 \leq E_n \leq 80 \text{ MeV}$ باستخدام طريقة VMA. المجلد 45

[14] IAEA, (2006). Handbook for Calculations of Nuclear Reaction Data, RIPL-2, IAEA in Austria, (Final report of a coordinated research project, IAEATECDOC-1506), pp. 47- 69.

[15] Al-Mustafa, H., & Belal, A. (2019). A Dispersive Optical Model Analysis of the Protons Scattering by Titanium Element Nucleus and Its Natural Isotopes. *Nuclear Science*, 6(1), 44-51.

[16] مرح علي. (2023). تحديد البارامترات الهندسية للكمون الضوئي بطريقة VMA للمنظومة $^{26-54}\text{Fe}$ (n+). مجلة جامعة البعث-سلسلة العلوم الأساسية، 45(5).

[17]-Bear, K., & Hodgson, P. E. (1978). The systematics of nuclear bound states. *Journal of Physics G: Nuclear Physics*, 4(12), L287.

[18]-KONING A.J. AND D. ROCHMAN,2011- Nuclear Research and Consultancy Group (NRG) Petten, The Netherlands. Release date: December 29.

- [19] P.G. Young, Los Alamos National Laboratory-(1994), Experience at los alamos with use of the optical model for applied nucleia data calculations, (report la-ur-94-3104).
- [20]- Koning, A. J., & Rochman, D. (2012). Modern nuclear data evaluation with the TALYS code system. Nuclear data sheets, 113(12), 2841-2934.
- [21]-Perey, C. M., & Perey, F. G. (1976). Compilation of phenomenological optical-model parameters 1954–1975. Atomic data and nuclear data tables, 17(1), 1-101.
- [22] Perey, F. G. (1963). Optical-model analysis of proton elastic scattering in the range of 9 to 22 MeV. Physical Review, 131(2), 745.